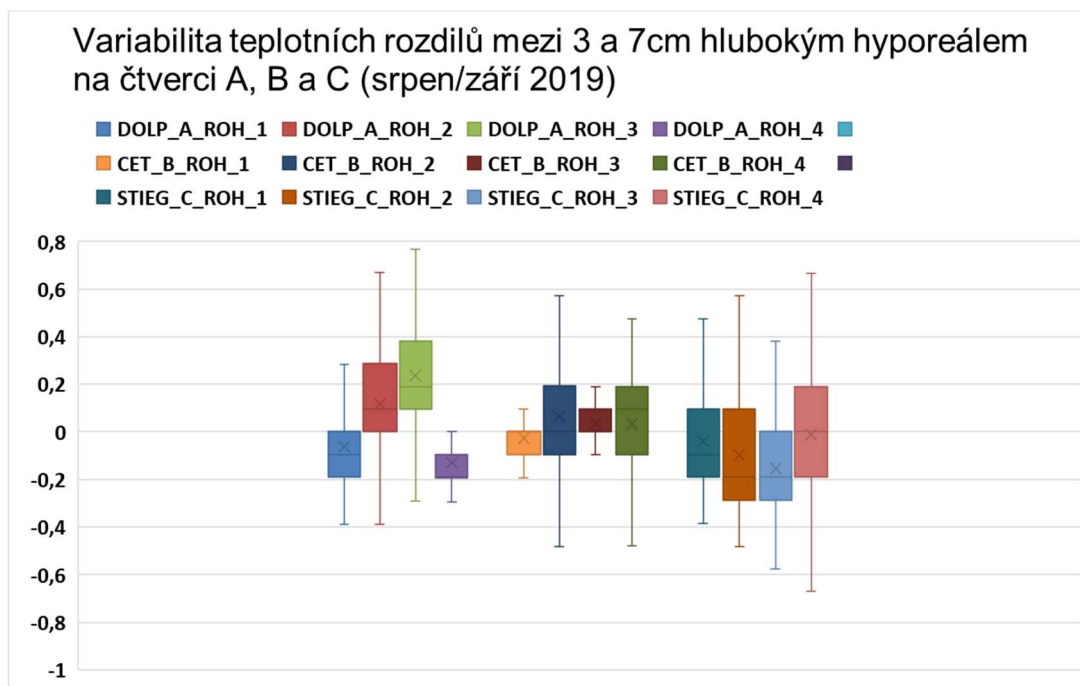
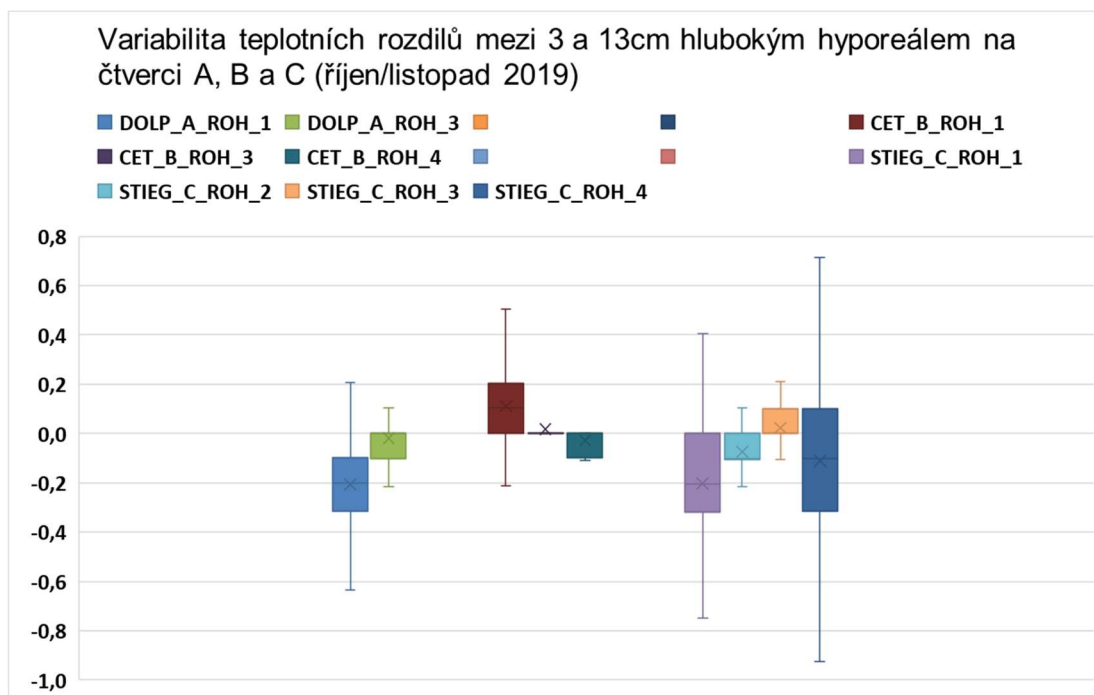


## 12. Přílohy

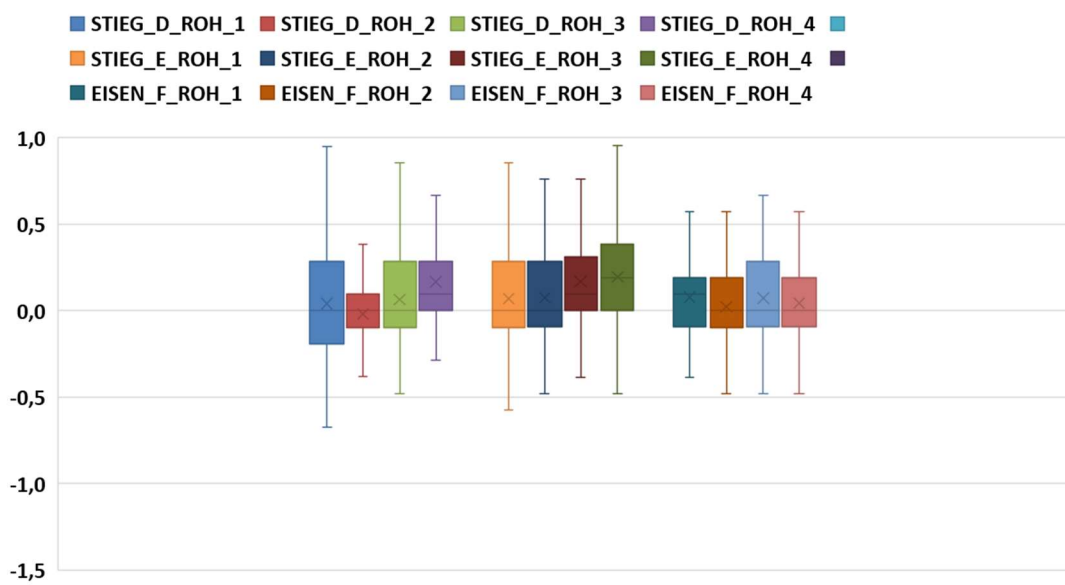


Příloha 1: Teplotní rozdíly mezi hloubkami 3 cm a 7 cm z jednotlivých rohů čtvercových studijních ploch DOLP\_A, CET\_B a STIEG\_C vynesené do boxplotu (letní období v trvání 4.8.2019 - 1.9.2019).



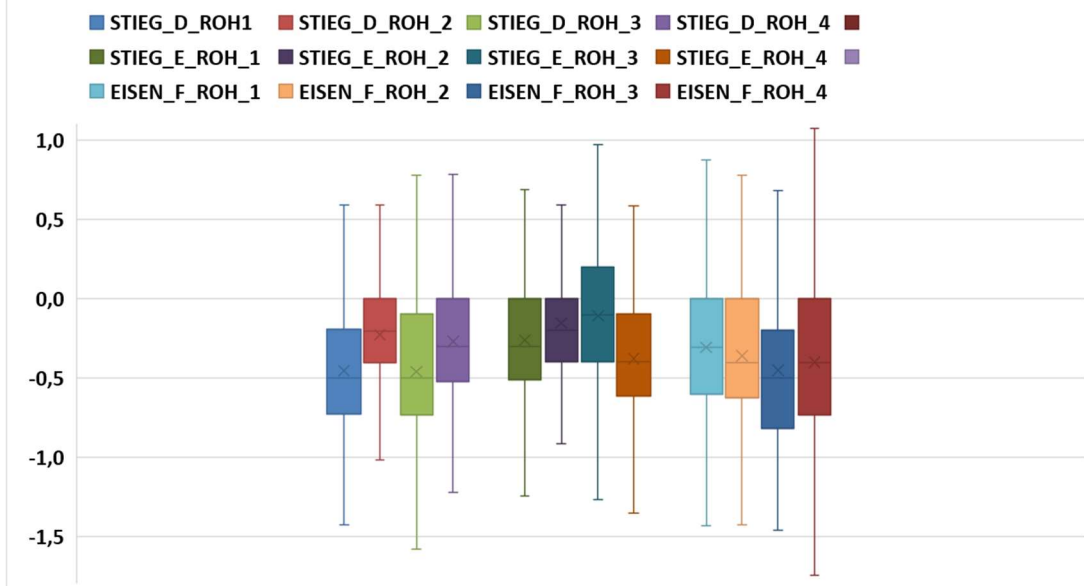
Příloha 2: Teplotní rozdíly mezi hloubkami 3 cm a 7 cm z jednotlivých rohů čtvercových studijních ploch DOLP\_A, CET\_B a STIEG\_C vynesené do boxplotu (podzimní období v trvání 22.10.2019 - 21.11.2019).

### Variabilita teplotních rozdílů mezi 3 a 7cm hlubokým hyporeálem na čtverci D, E a F (srpen/září 2019)

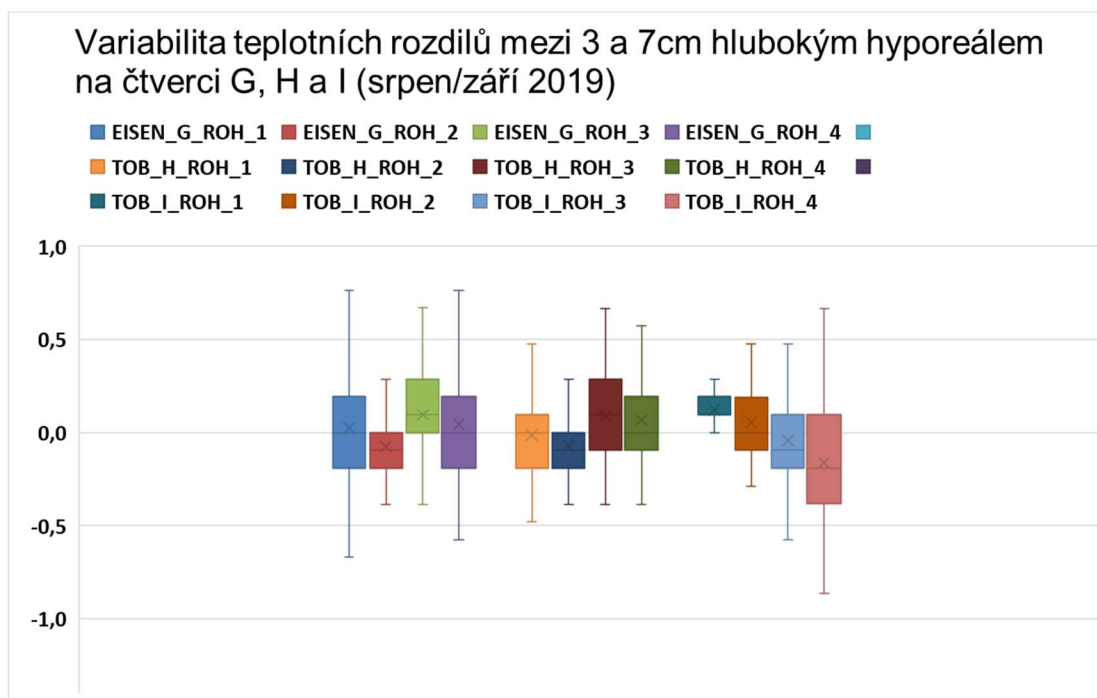


Příloha 3: Teplotní rozdíly mezi hloubkami 3 cm a 7 cm z jednotlivých rohů čtvercových studijních ploch STIEG\_D, STIEG\_E a EISEN\_F vynesené do boxplotu (letní období v trvání 4.8.2019 - 1.9.2019).

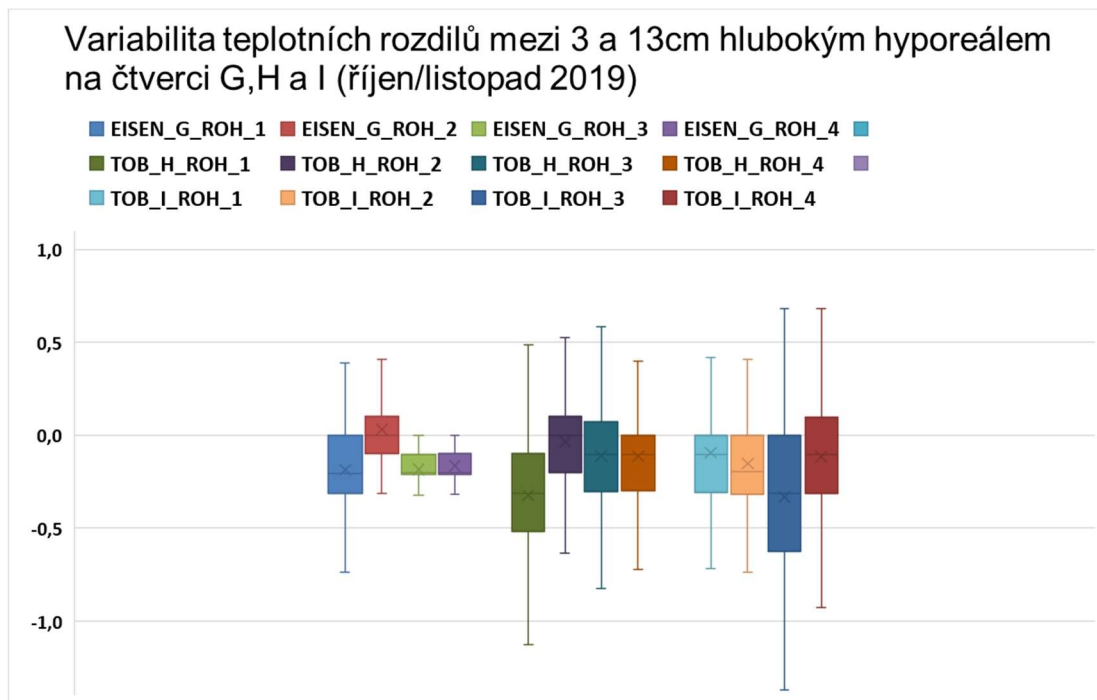
### Variabilita teplotních rozdílů mezi 3 a 13cm hlubokým hyporeálem na čtverci D,E a F (říjen/listopad 2019)



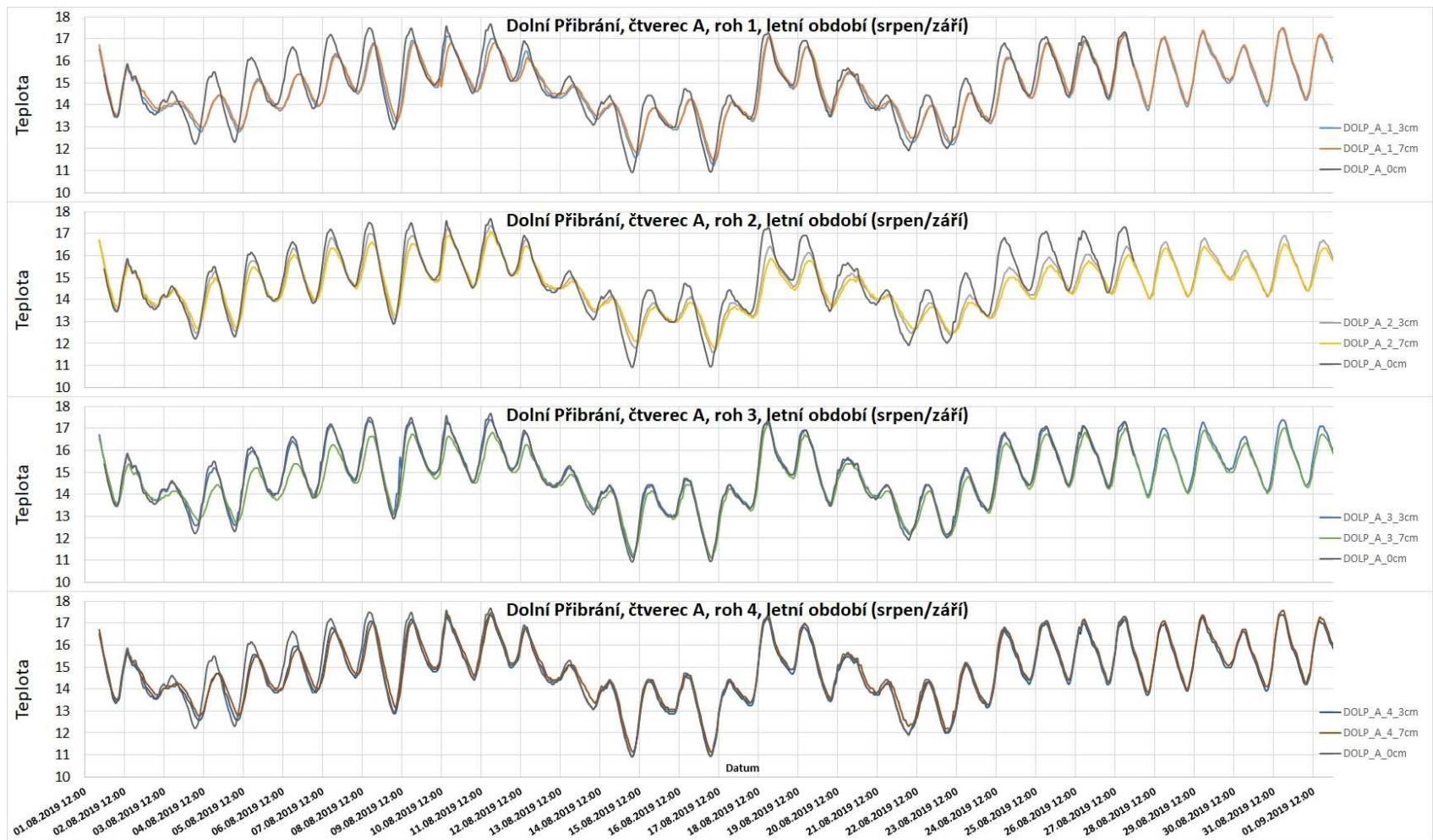
Příloha 4: Teplotní rozdíly mezi hloubkami 3 cm a 7 cm z jednotlivých rohů čtvercových studijních ploch STIEG\_D, STIEG\_E a EISEN\_F vynesené do boxplotu (podzimní období v trvání 22.10.2019 - 21.11.2019).



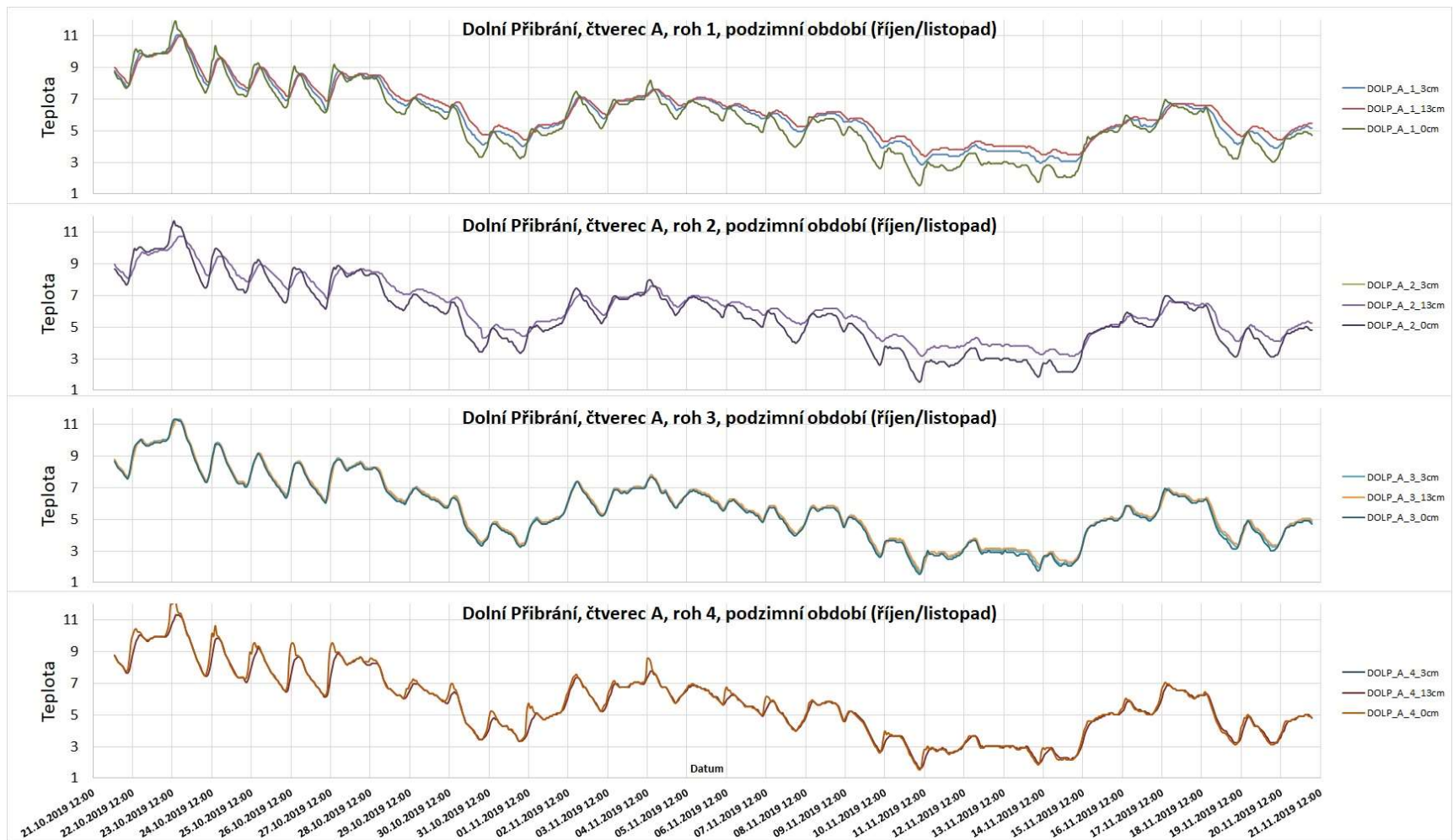
Příloha 5: Teplotní rozdíly mezi hloubkami 3 cm a 7 cm z jednotlivých rohů čtvercových studijních ploch EISEN\_G, TOB\_H a TOB\_I vynesené do boxplotu (letní období v trvání 4.8.2019 -1.9.2019).



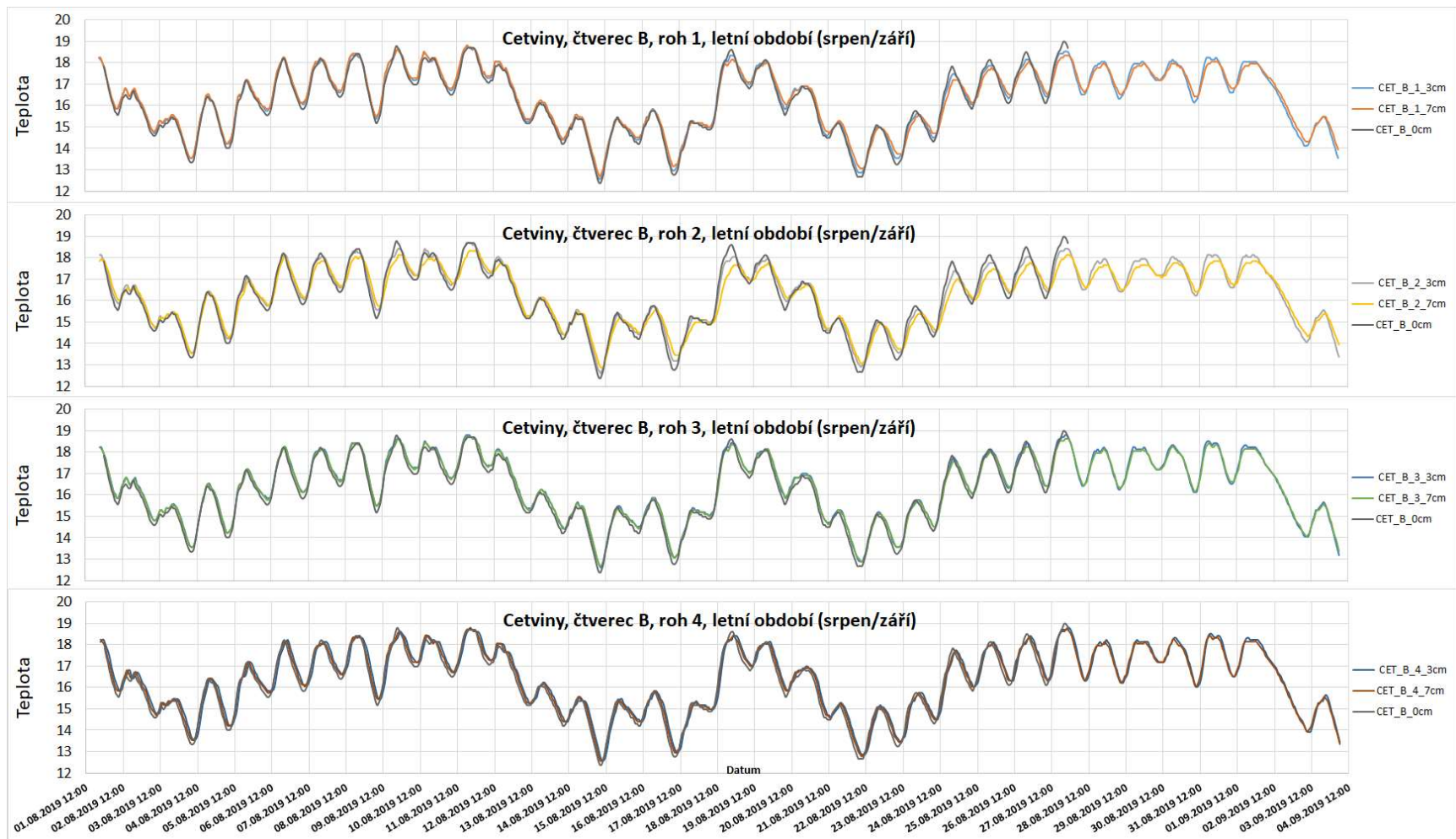
Příloha 6: Teplotní rozdíly mezi hloubkami 3 cm a 7 cm z jednotlivých rohů čtvercových studijních ploch EISEN\_G, TOB\_H a TOB\_I vynesené do boxplotu (podzimní období v trvání 22.10.2019 - 21.11.2019).



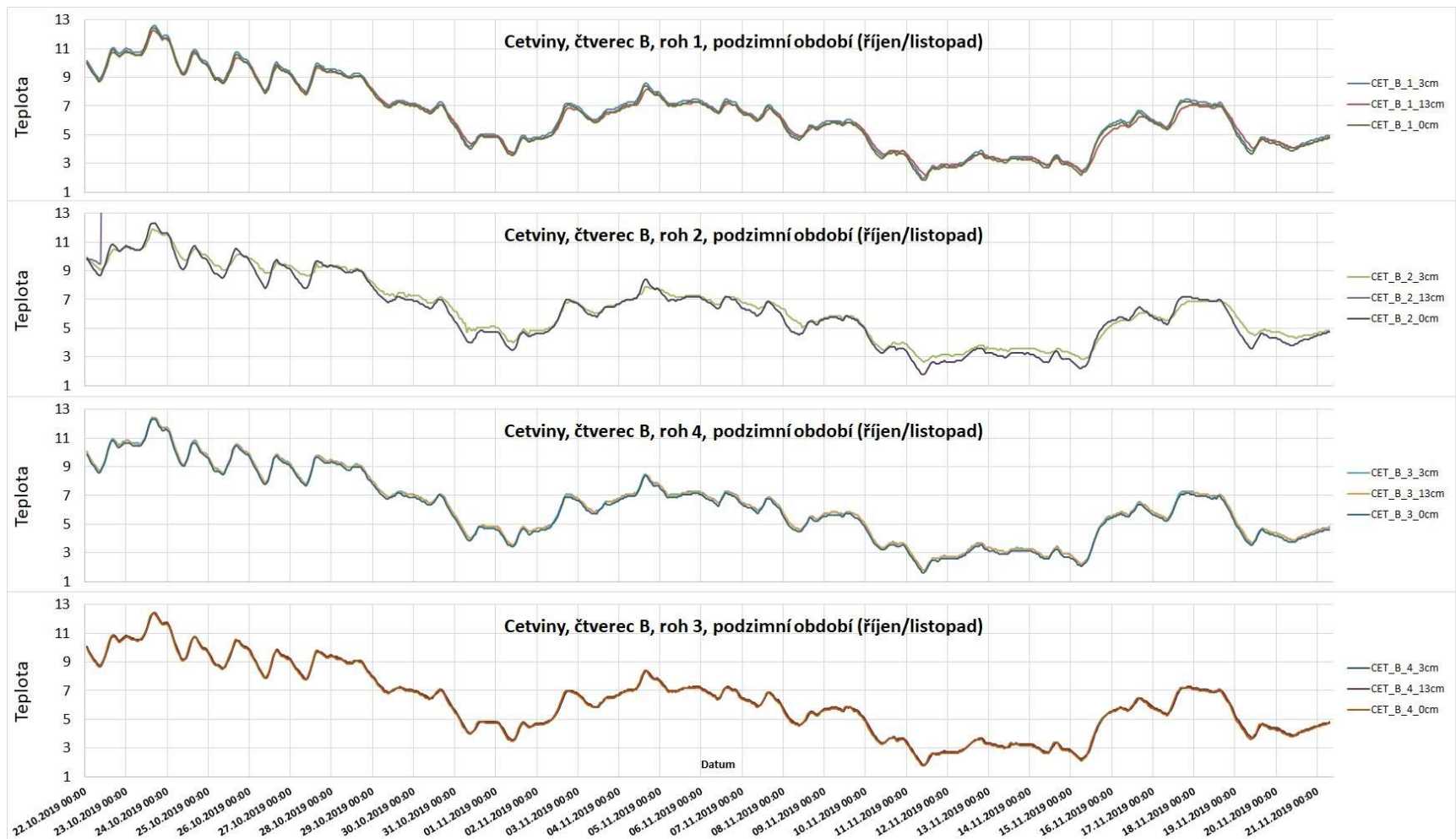
Příloha 7: Teplotní data z jednotlivých rohů čtvercové studijní plochy DOLP\_A ve třech hloubkách (0 cm, 3 cm a 7 cm) vynesena do liniového grafu (letní období v trvání 4.8.2019 - 1.9.2019).



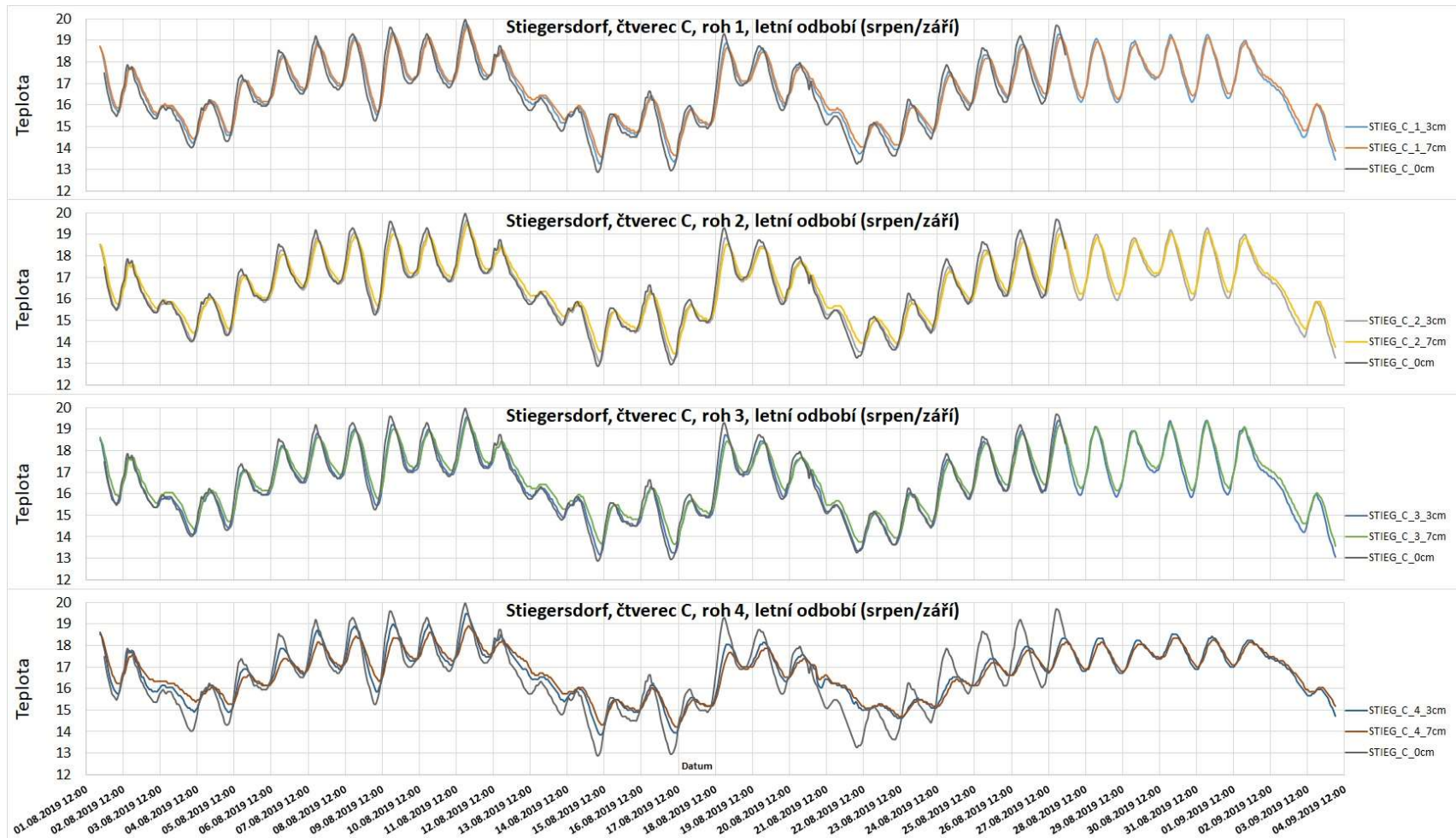
Příloha 8: Teplotní data z jednotlivých rohů čtvercové studijní plochy DOLP\_A ve třech hloubkách (0 cm, 3 cm a 7 cm) vynesena do liniového grafu (podzimní období v trvání 22.10.2019 - 21.11.2019).



Příloha 9: Teplotní data z jednotlivých rohů čtvercové studijní plochy CET\_B ve třech hloubkách (0 cm, 3 cm a 7 cm) vynesena do liniového grafu (letní období v trvání 4.8.2019 - 1.9.2019).

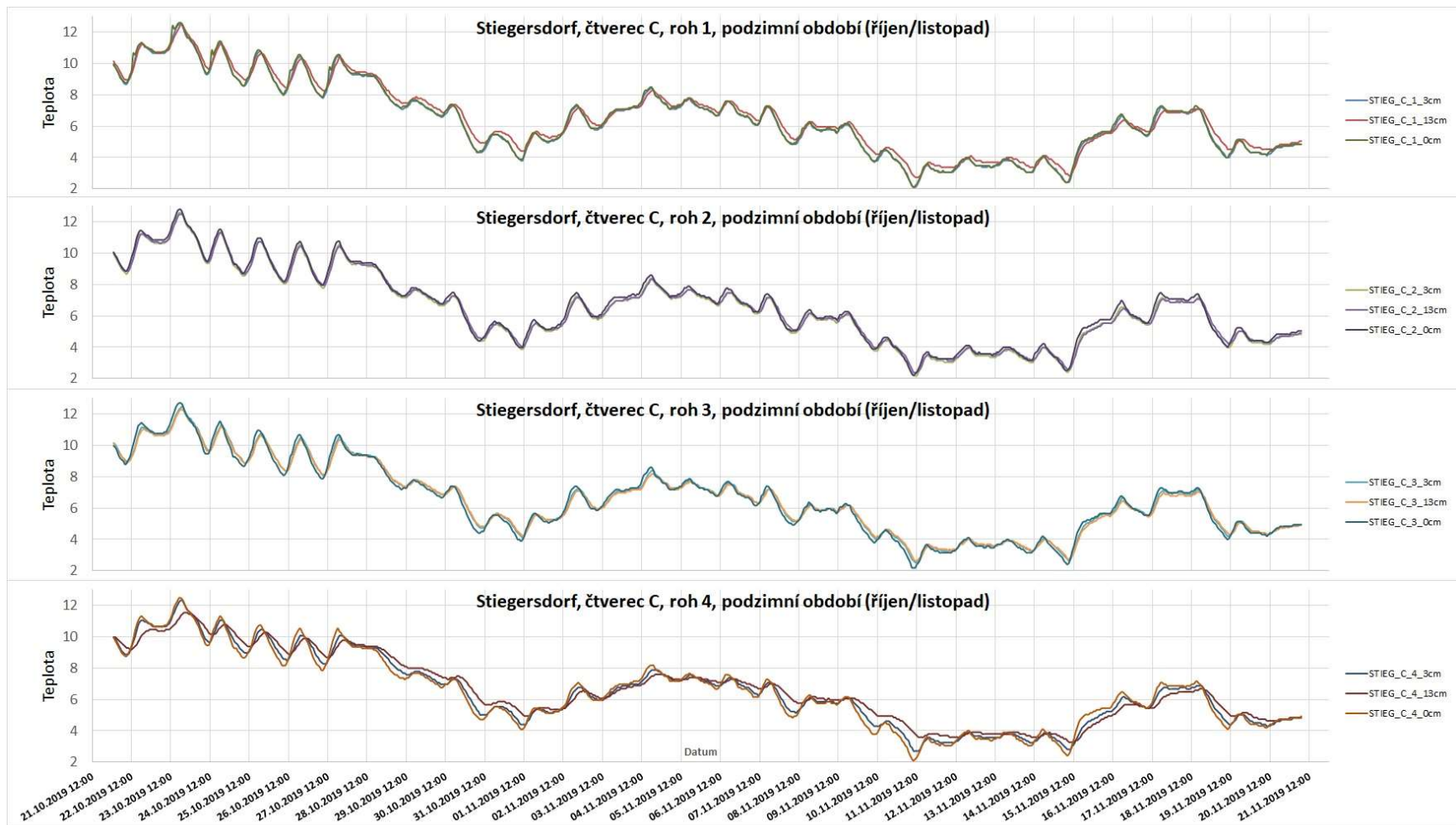


Příloha 10: Teplotní data z jednotlivých rohů čtvercové studijní plochy CET\_B ve třech hloubkách (0 cm, 3 cm a 7 cm) vynesena do liniového grafu (podzimní období v trvání 22.10.2019 - 21.11.2019).

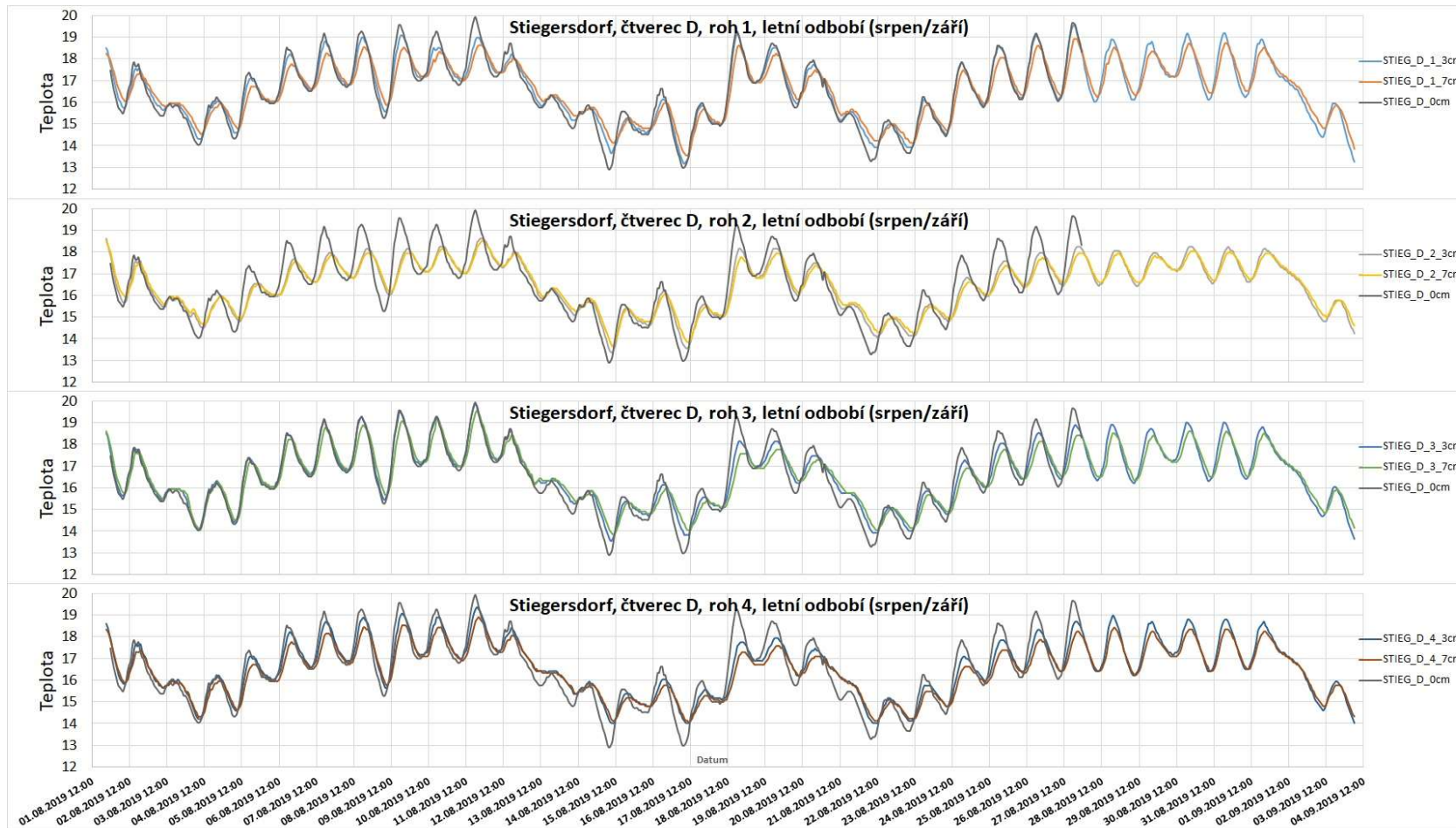


Příloha 11: Teplotní data z jednotlivých rohů čtvercové studijní plochy STIEG\_C ve třech hloubkách (0 cm, 3 cm a 7 cm) vynesena do liniového grafu (letní období v trvání 4.8.2019 - 1.9.2019).

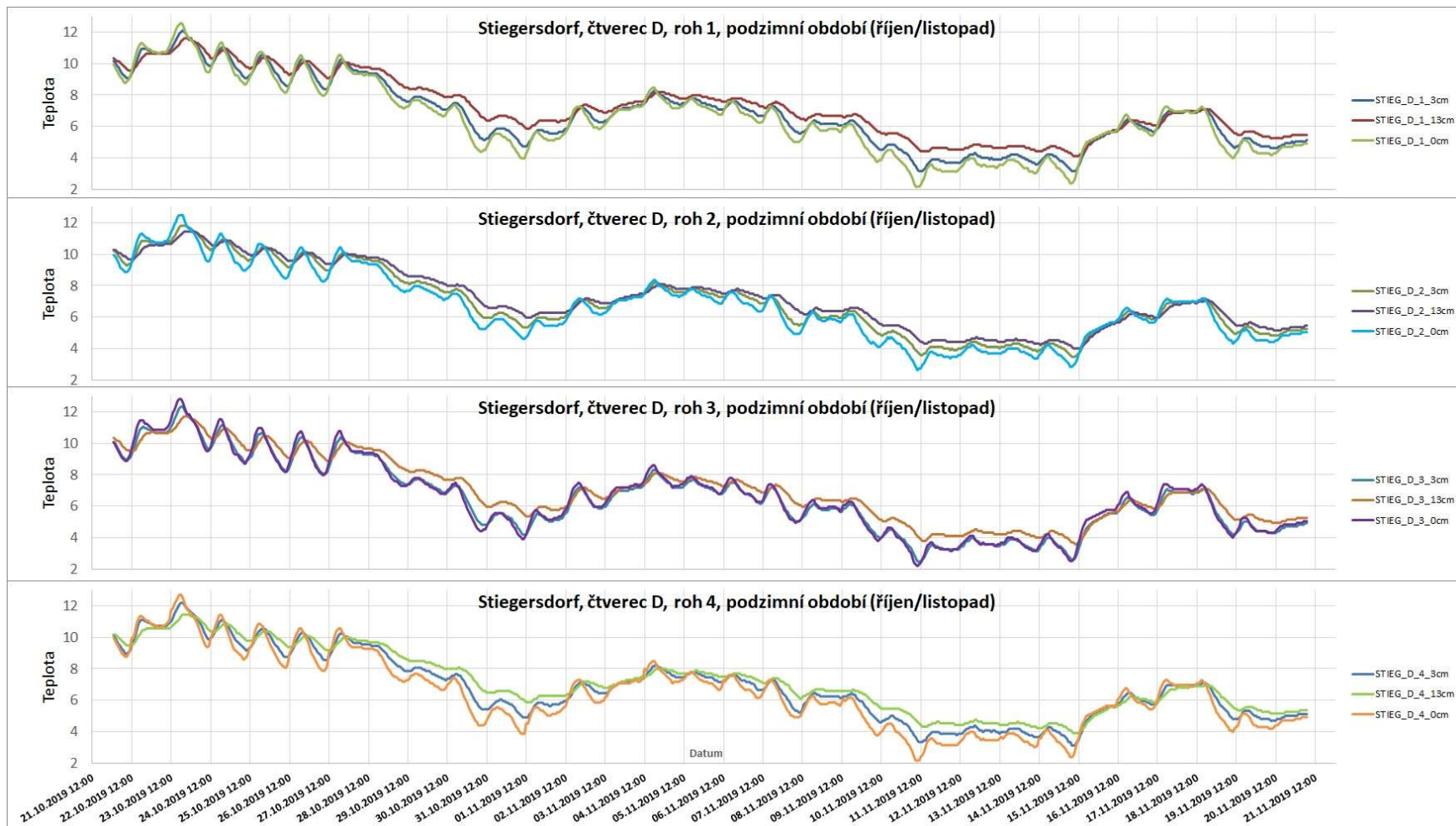




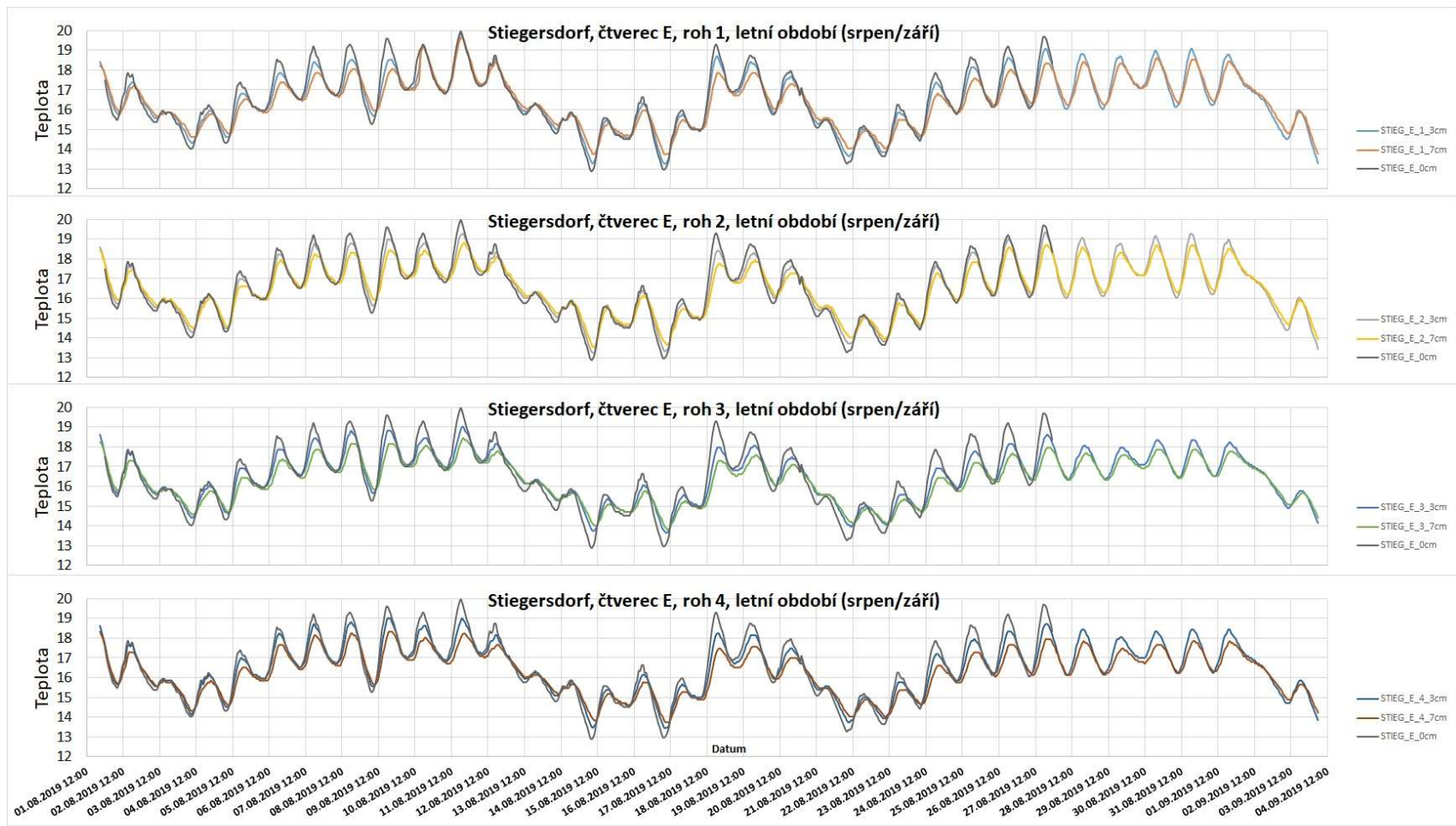
Příloha 12: Teplotní data z jednotlivých rohů čtvercové studijní plochy STIEG\_C ve třech hloubkách (0 cm, 3 cm a 7 cm) vynesena do liniového grafu (podzimní období v trvání 22.10.2019 - 21.11.2019).



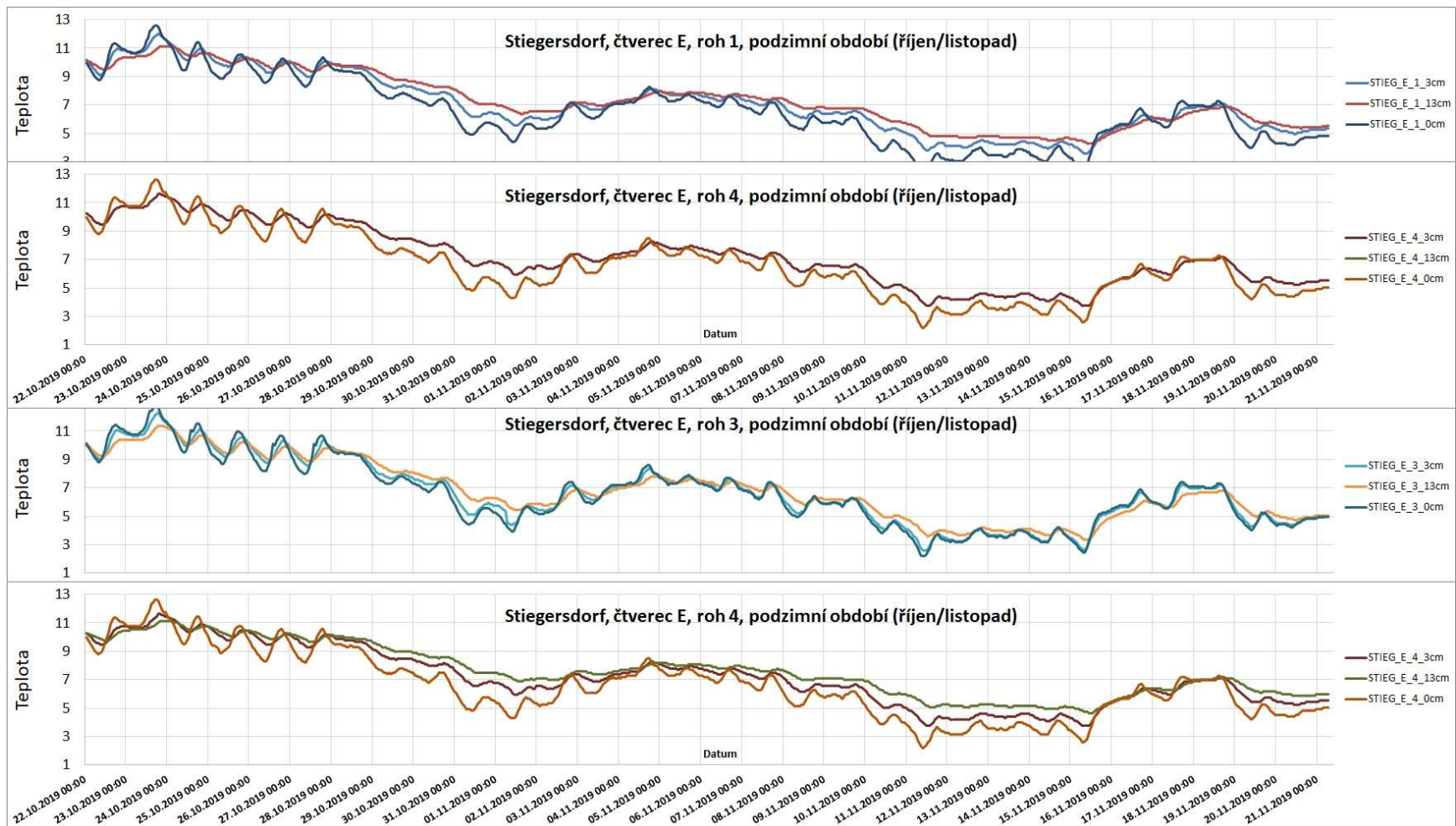
Příloha 13: Teplotní data z jednotlivých rohů čtvercové studijní plochy STIEG\_D ve třech hloubkách (0 cm, 3 cm a 7 cm) vynesena do liniového grafu (letní období v trvání 4.8.2019 - 1.9.2019).



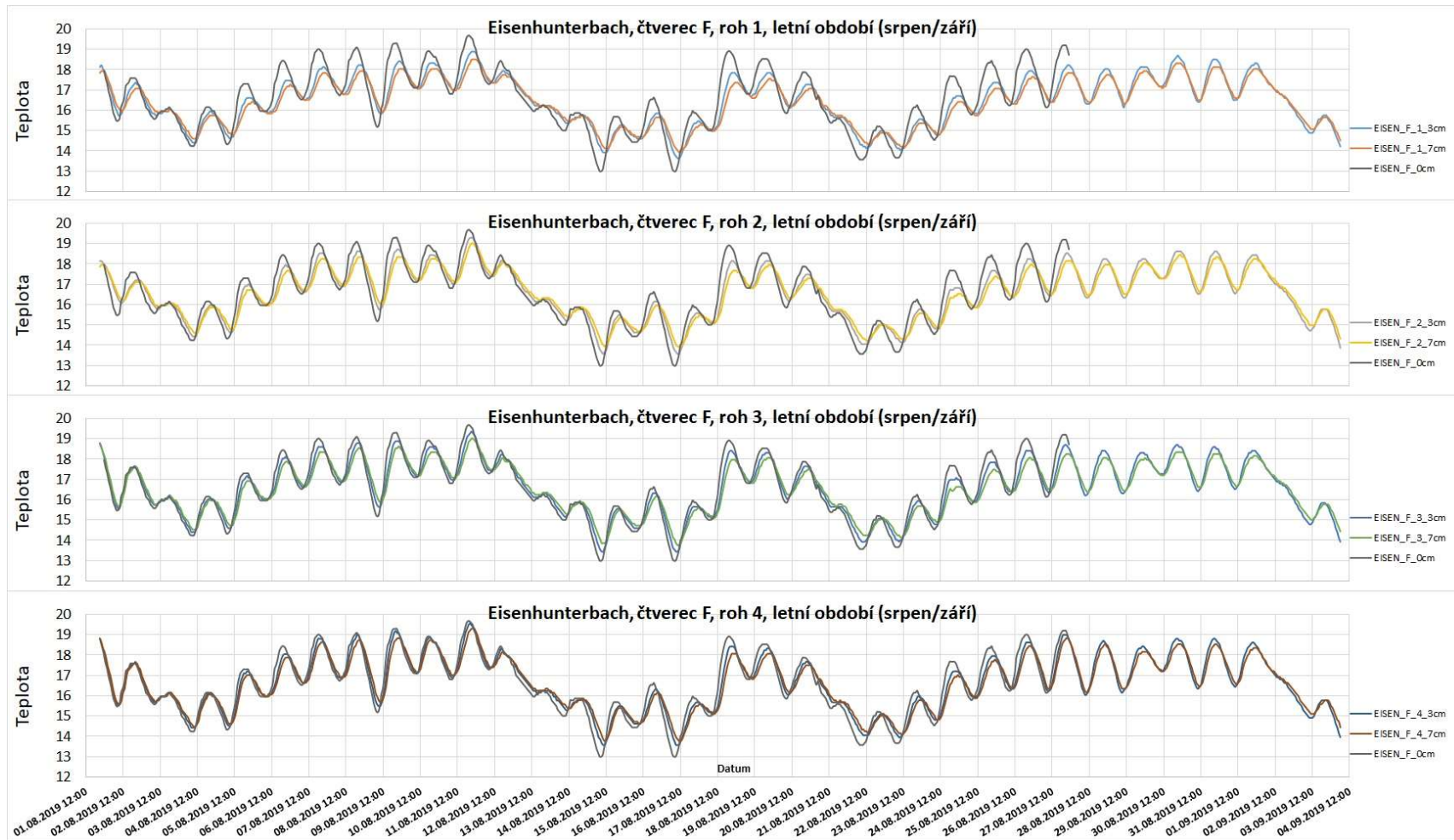
Příloha 14: Teplotní data z jednotlivých rohů čtvercové studijní plochy STIEG\_D ve třech hloubkách (0 cm, 3 cm a 7 cm) vynesena do liniového grafu (podzimní období v trvání 22.10.2019 - 21.11.2019).



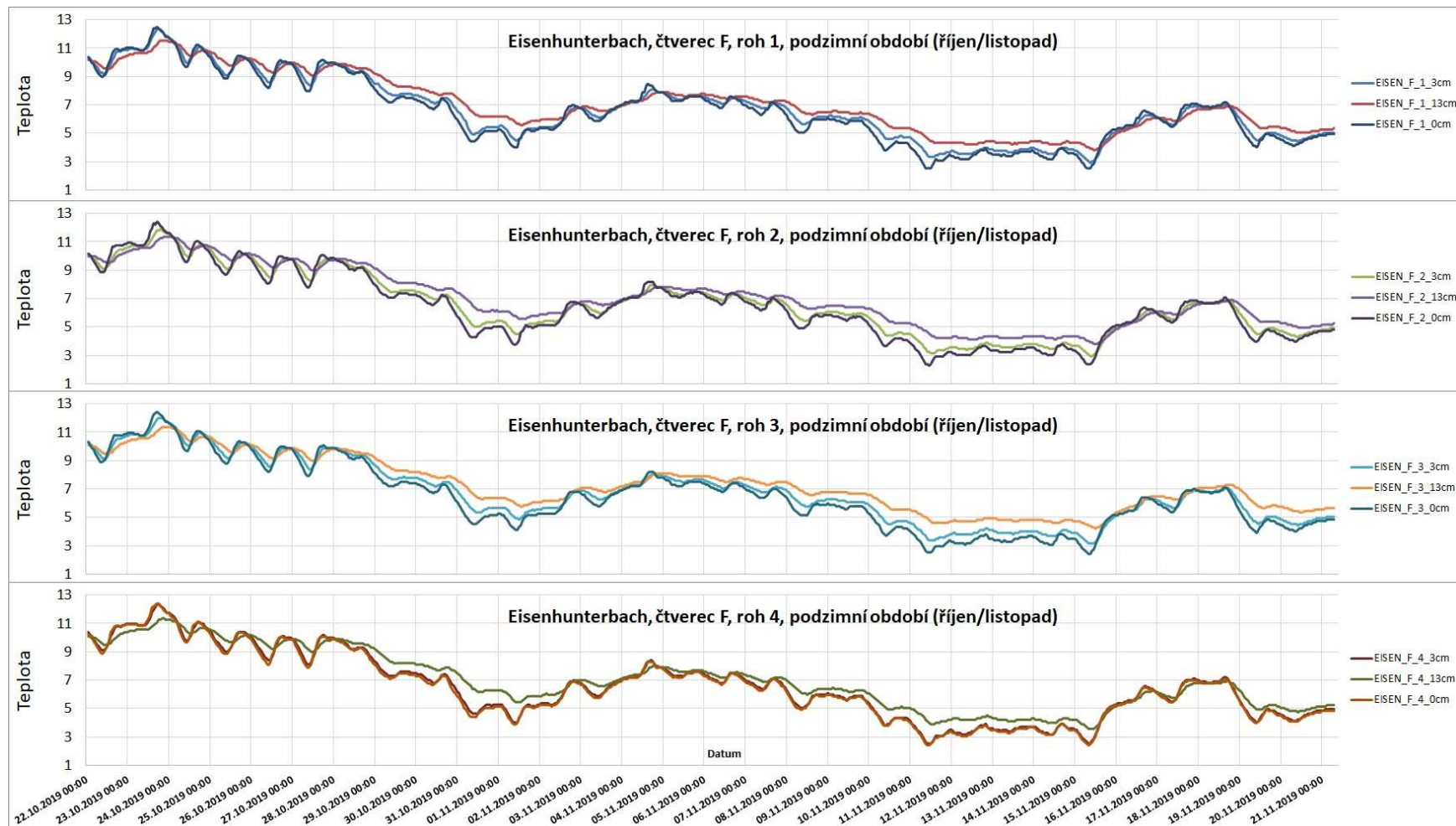
Příloha 15: Teplotní data z jednotlivých rohů čtvercové studijní plochy STIEG\_E ve třech hloubkách (0 cm, 3 cm a 7 cm) vynesena do liniového grafu (letní období v trvání 4.8.2019 - 1.9.2019).



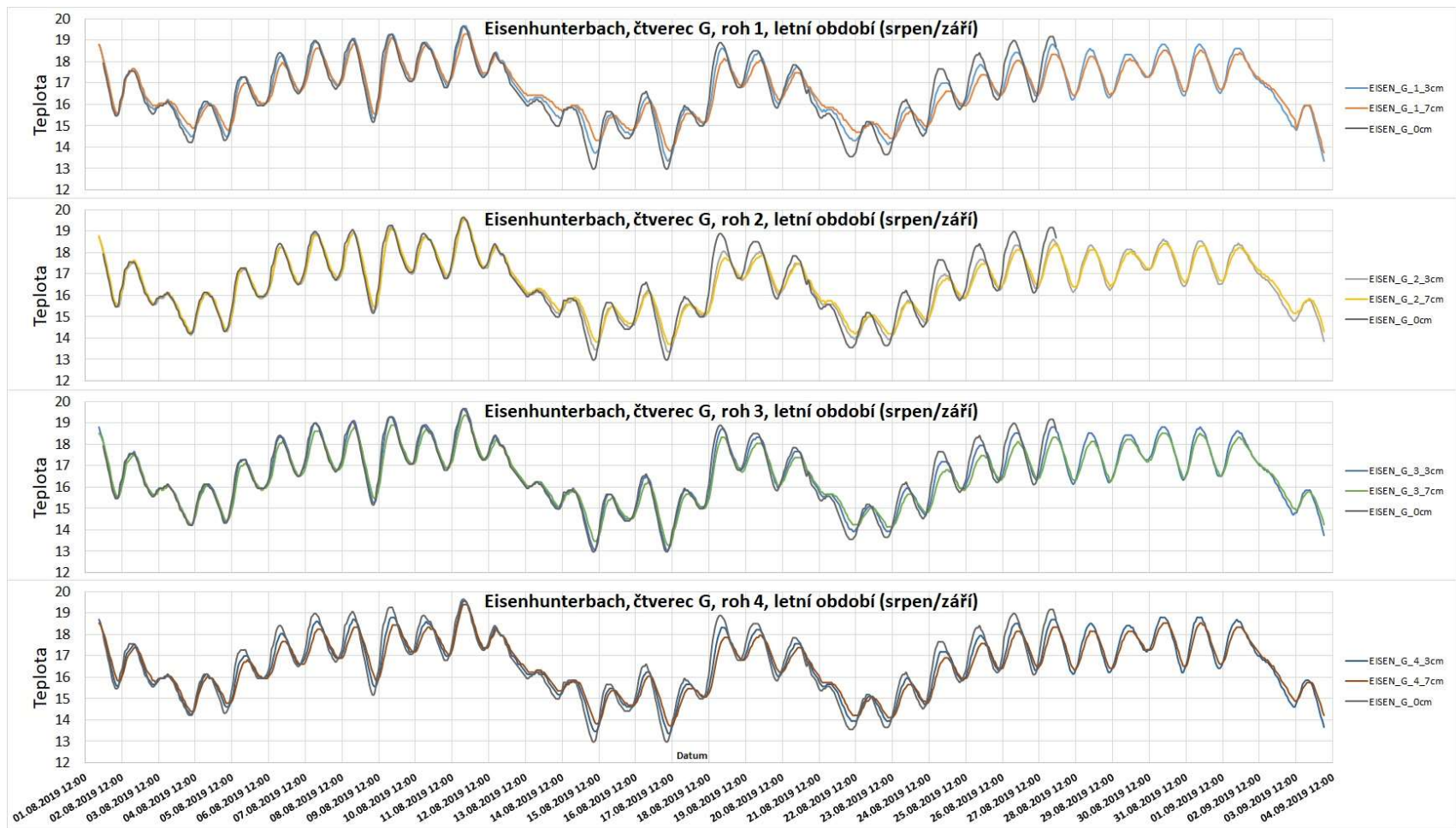
Příloha 16: Teplotní data z jednotlivých rohů čtvercové studijní plochy STIEG\_E ve třech hloubkách (0 cm, 3 cm a 7 cm) vynesena do liniového grafu (podzimní období v trvání 22.10.2019 - 21.11.2019).



Příloha 17: Teplotní data z jednotlivých rohů čtvercové studijní plochy EISEN\_F ve třech hloubkách (0 cm, 3 cm a 7 cm) vynesena do liniového grafu (letní období v trvání 4.8.2019 - 1.9.2019).

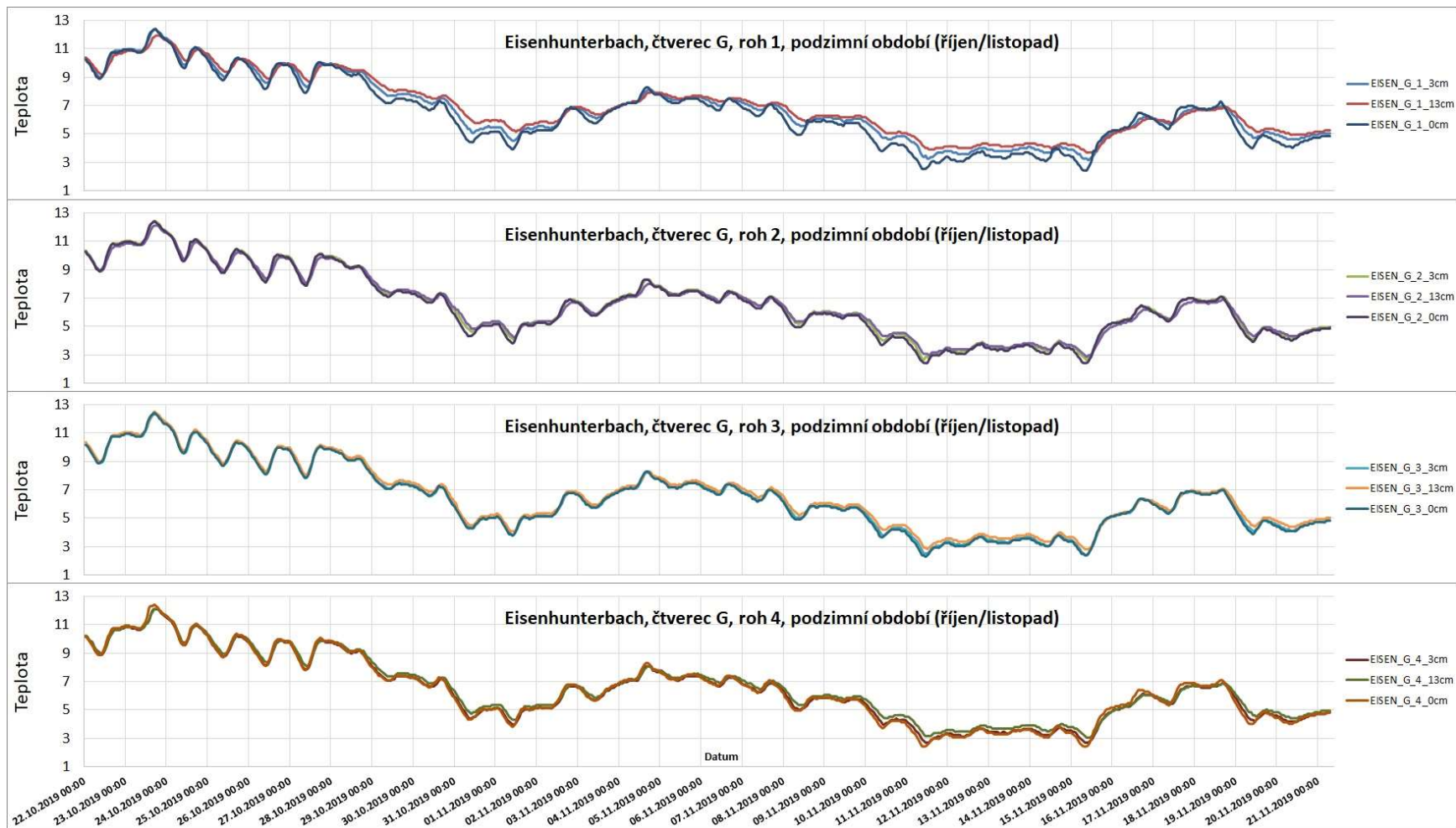


Příloha 18: Teplotní data z jednotlivých rohů čtvercové studijní plochy EISEN\_F ve třech hloubkách (0 cm, 3 cm a 7 cm) vynesena do liniového grafu (podzimní období v trvání 22.10.2019 - 21.11.2019).

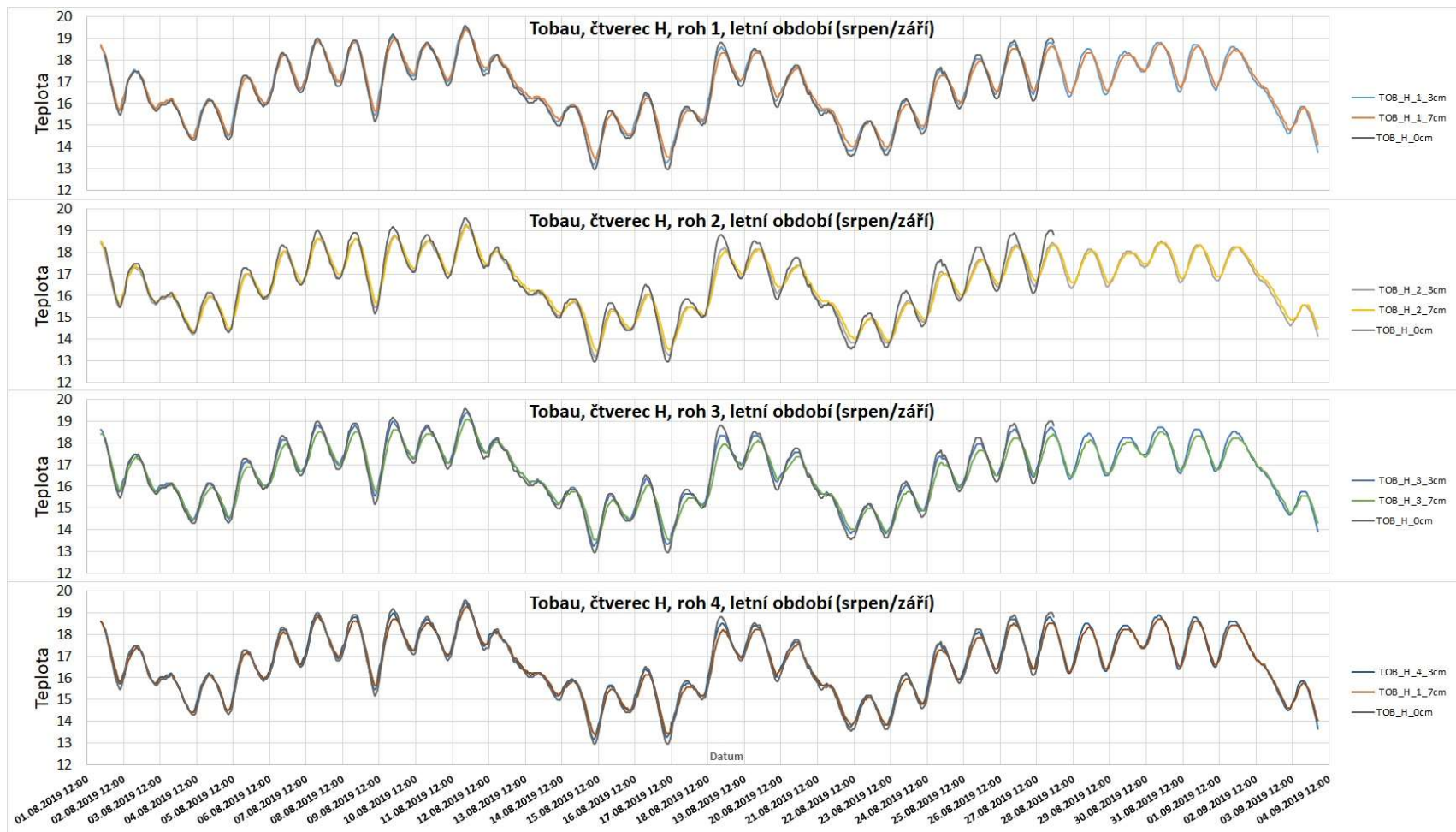


Příloha 19: Teplotní data z jednotlivých rohů čtvercové studijní plochy EISEN\_G ve třech hloubkách (0 cm, 3 cm a 7 cm) vynesena do liniového grafu (letní období v trvání 4.8.2019 - 1.9.2019).

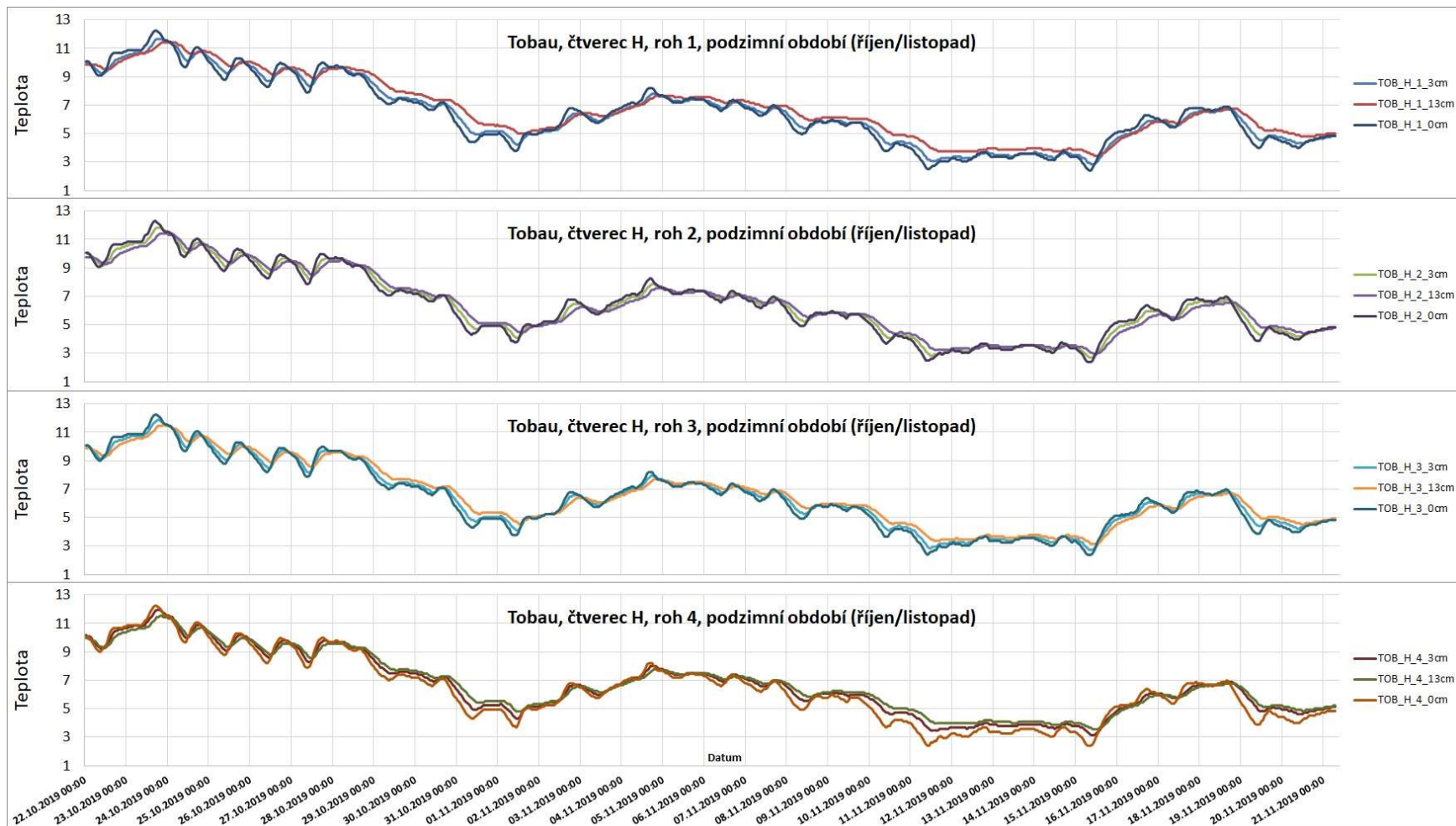




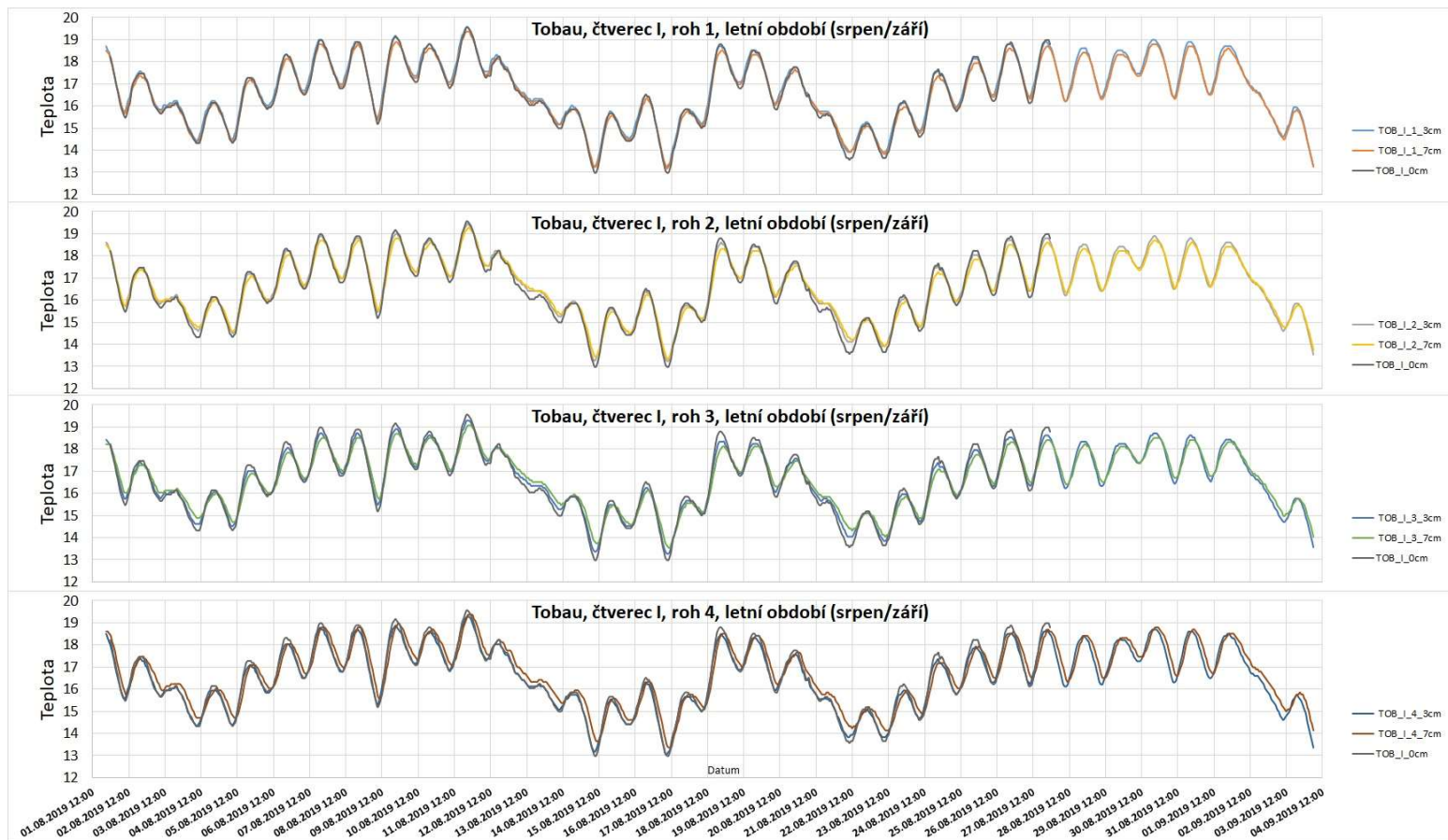
Příloha 20: Teplotní data z jednotlivých rohů čtvercové studijní plochy EISEN\_G ve třech hloubkách (0 cm, 3 cm a 7 cm) vynesena do liniového grafu (podzimní období v trvání 22.10.2019 - 21.11.2019).



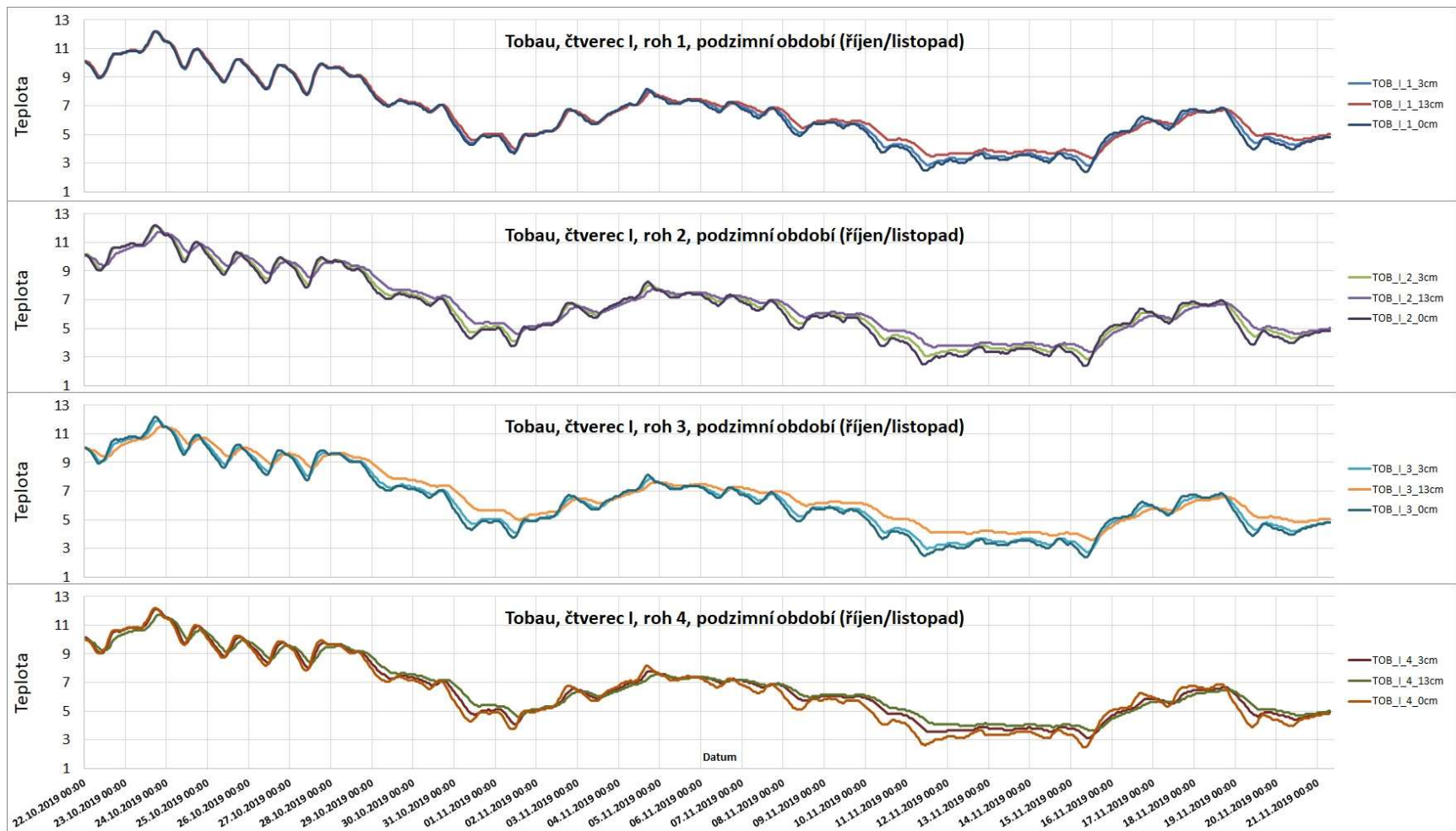
Příloha 21: Teplotní data z jednotlivých rohů čtvercové studijní plochy TOB\_H ve třech hloubkách (0 cm, 3 cm a 7 cm) vynesena do liniového grafu (letní období v trvání 4.8.2019 - 1.9.2019).



Příloha 22: Teplotní data z jednotlivých rohů čtvercové studijní plochy TOB\_H ve třech hloubkách (0 cm, 3 cm a 7 cm) vynesena do liniového grafu (podzimní období v trvání 22.10.2019 - 21.11.2019).



Příloha 23: Teplotní data z jednotlivých rohů čtvercové studijní plochy TOB\_I ve třech hloubkách (0 cm, 3 cm a 7 cm) vynesena do liniového grafu (letní období v trvání 4.8.2019 - 1.9.2019).



Příloha 24: Teplotní data z jednotlivých rohů čtvercové studijní plochy TOB\_I ve třech hloubkách (0 cm, 3 cm a 7 cm) vynesena do liniového grafu (podzimní období v trvání 22.10.2019 - 21.11.2019).

## **Příloha 25:** Stručný popis metodiky bioindikační testování

K bioindikačnímu testování jsou využíváni juvenilní jedinci perlorodky říční z polopřirozeného odchovu. Po vyfotografování jedinců s měřítkem jsou jedinci vloženy do upravených Buddensiekových bioindikačních destiček (viz Obr. 4.1). Každá destička má několik řad otvorů pro vložení juvenilních jedinců, sadu teploměrů a hadičky pro snadné čerpání vody z určité hloubky a její následné fyzikálně – chemické analýzy. Po vložení jedinců do otvorů představujících budoucí hloubku 3 cm a 7 cm a po instalaci teploměrů a hadiček následuje expozice destičky v hyporeálu. Po uplynutí doby expozice se destička vyzvedne a juvenilní jedinci se znovu vyfotografují. Pokud mají jedinci otevřenou, či narušenou schránku, jsou bez aktivního pohybu, nebo mají vystrčenou svalnatou nohu, jsou vyhodnoceni jako uhynulí. Bioindikační testování trvalo destiček trvala od 4.8.2019 do 1.9.2019, spolu s letním měřením teplotních dat na čtvercových studijních plochách (Černá 2017, Bílý *et* Simon 2019, ústní sdělení).